

土石流発生危険降雨強度の算定法について

愛媛大 審 小川 滉・新垣 陸
愛媛県 川村孝一・大野耕徳・光田良三郎

I. まえがき

土石流発生の予測は、降雨流出系のなかでどう立てる必要がある。そのためには、土石流発生のモデルと、それに関連する降雨流出量の算定法が明らかにされねばならない。ここでは、愛媛県における土石流発生の実態的調査をもとに、土石流発生のモデルを検討し、土石流発生限界流量を用いた降雨強度の算定法を示し、現実流域適用の問題点について考察を加えた。

II. 調査対象流域

調査流域は、愛媛県周桑郡丹原地区新川水系5溪流（流域面積0.5~1.4 km²），ならびに伊予三島市越之尾谷水系4溪流（流域面積0.9~2.8 km²）である。流域の地質は、丹原地区5溪流では、花崗岩地帯となつてゐるが、踏査によると、花崗岩の質も各溪流で若干異つてあり、破碎化された礫やマサ化した流域もある。伊予三島地区は、中央構造線が流域の末端部を通つてあり、黒色片岩地帯である。昭和51年台風17号災害は、総降雨量1,000~1800 mm（6日間），最大時間降雨強度480 mm/hrで、伊予三島地区、丹原地区、今治地区など約50溪流に亘り土石流災害が発生した。

III. 土石流発生位置および特性

航空写真および踏査によつて、土石流発生位置

の推定を行つた。5000分の1地形図上に発生崩壊地を園化して、勾配、面積などを計測した。水系網解析と関連させ、1次谷発生、山腹斜面発生などをとした。発生崩壊地の集水域あたり規模の1例を示すと図-1のようである。発生崩壊地の勾配の分布をみると図-2に示すようであり、平均は36°であるが、15°~30°と30°以上に分けられるようで、前者が全体の30%で、大部分は、30°以上の急勾配となつてゐる。注目を要するであろう。これらは、発生の位置の確認が、高次の谷にのみなはれることは、上流からの土石流流下が集合していくため、確認が非常に難しく、土石流発生形態との対応は、この調査のみでは、不充分であるが、このことを考慮しても、大部分は、1次谷より多く、こうに小土は单位斜面での集水域で発生するものが圧倒的となるようである。発生形態としては、山崩れによる堆积作用と斜面の崩壊層

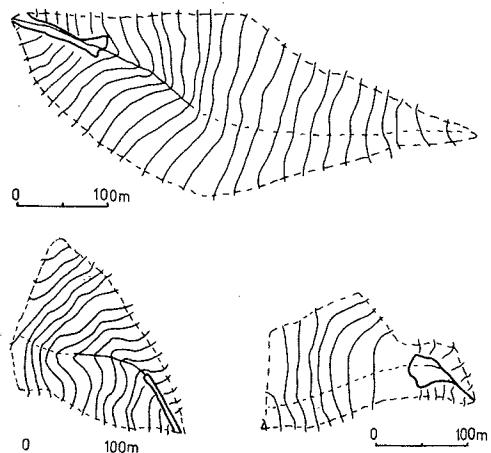


図-1

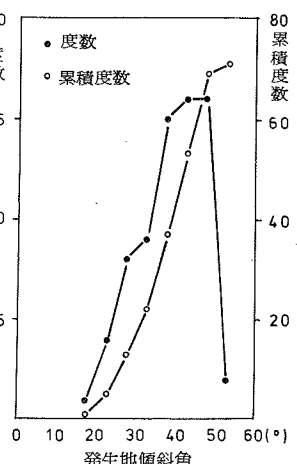


図-2

あるのは、1次合の災害堆積土の流動との混合土山形態ではなしを考慮せらる。

II. 土石流発生モデルと危険降雨強度の算定法

上述の発生の実態的調査をもとに、図-3のように、1次合ある
1は、ガリ一部にかけた土石流発生地の集水域をモデル的に考
えよ。集水地表に厚さD、幅Bの堆積土層があるとする。土石流
発生限界水深を h_{hc} とすれば、 ϵ_e を有効孔隙率として、 $h_{hc} = h_0$
 $+ \epsilon_e D$ — (1) (h_0 : 表面流水深) で示されるが、現在 h_0 に対する

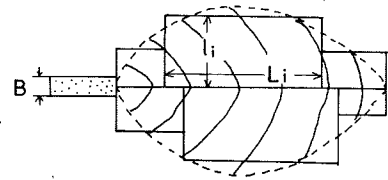


図-3

理論的根拠がなく、(1)式から表面流限界水深の求め方を明確でないため、(2)では、安全側ヒトツニ
ヒテ、 h_0 を無視しておくことにする。また、発生地表にかけた堆積層内の単位幅流量を q_c とし、堆
積層内浸透流流速をVとすると、Vを透水係数として、 $V = k_e / \epsilon_e \cdot \sin \theta$ — (2) ($\sin \theta$: 堆積勾配)
で示され、有効水深 h_{hc} は、 $h_{hc} = q_c / (k_e / \epsilon_e) \sin \theta$ — (3) で示される。ヒテ、発生の限界条件とし
て、 $h_{hc} = h_0$ より、 $q_c = \epsilon_e k_e \sin \theta$ — (4)、ある1は、 $Q_{fc} = \epsilon_e k_e \sin \theta \cdot B$ — (4) が限界流量となる。そ
れゆえ、発生地表に集水する降雨流出量 Q_{fc} を与えた降雨条件が発生限界降雨条件となる。図-3に示
された、ある等斜面長 l_i に対する単位降雨強度 y_0 は、到達時間 T_0 は、平野うによる斜面長分布
を考慮した降雨到達時間式⁽¹⁾より、 $T_0 = y_0^{p-1} l_i^p K$ — (5) で示される。ヒテ、 $p \cdot K$ はヒトツニ、斜
面の雨水の流れに因る運動の式の定数であり、小川によって示された「水みち」によると運動の式
⁽²⁾、 $A = K Q P$ — (6) の定数である。小流域の解析結果では⁽²⁾、 $p = 0.447$ 、 $K = 0.87 / \sin \theta^{1-p}$ ($\sin \theta$: 斜
面勾配) (m/s 単位) が示されている。ヒテ、斜面長 l_i をもつ単位斜面幅 U_i は、斜面下流
端における流量 Q_{si} は、 $Q_{si} = \int y_0 U_i T_0 / K \frac{1}{P} — (6)$ で示される。また、災害堆積土に到達する
までの渦流における流れは、表面流と呼んで、小流域においては、渦流のあくま時刻は無視して考
えられるが、等斜面長をもつ斜面幅 L_i を U_i の N_i 倍とすると、等斜面長で集水される流量 Q_{ci} と
集水域全体での流量 Q_c は、 $Q_c = \sum Q_{ci} = \sum Q_{si} \cdot N_i$ — (7) で示される。また、(5)式で示される y_0 に
ついては、 y_{60} を1時間有効降雨強度として、降雨時間強度式⁽¹⁾、 $y_0 = \alpha y_{60} / \beta + T_0$ — (8) をもつてヒテ
とができる。ヒテ、 α 、 β の値に関するには、松山・今治地区の100
年確率特性係数値⁽³⁾より、 $\alpha = 105$ 、 $\beta = 45$ をもつてヒテとができる。

また、 $U_i = 1m$ とすると、(7)式は、 $Q_c = (y_0 U_i T_0 / 6000 K)^{\frac{1}{p}} \cdot N$ (m/s 単位) — (7)

となる。それゆえ、種々の y_{60} を与えたヒテによって、(5)式と(8)式を
同時に満足する y_0 を求めるヒテにより、 Q_c を算定するヒテができる。

また一方、(4)式で示された発生限界流量 Q_{fc} を算定するヒテにより、
発生危険降雨強度としての y_{60} を指標として求めることができる。現
実の流域の適用に関しては、 k_e 、 B 、 ϵ_e の値を現地的に求めが必要があ
る。また、表面流の動果につけても今後定量化する必要があるが、現
在検討中であり、講義時に現地への適用結果と共に示す。

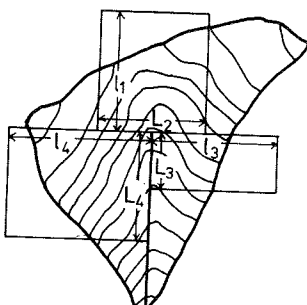


図-4

参考文献 (1) 平野宗夫・伊藤尚規：到達時間の分布を考慮した流出解析、第22回水理講演会論文集、
1977-02, 1978 (2) 小川滋：山地小流域における出水解析の基礎的研究、九大論叢50号、1-68, 1977,

(3) 岩井重久・石黒政儀：元用水利統計学、1975